

大阪市立大学 正員 倉田宗章

“ “ 谷平 勉

“ “ 小林治俊

1. まえがき

本文は、90度の凹角部を有し周辺で単純支持されたL形平板の曲げについて、L形平板が幾つかの矩形要素に分割出来ることから既知の矩形平板解を利用して板内で連続解の得られる方法を2・3述べ、併せて数値計算例を示すものである。

2. L形平板の解析方法

2). 解法1 ¹⁾

L形平板を2つに分割し、基本要素として三辺単純支持一辺自由な板を用いる(図1)。板1、板2の自由辺は各々 $y=0, y'=0$ 辺で、各板の寸法は図の様に定める。

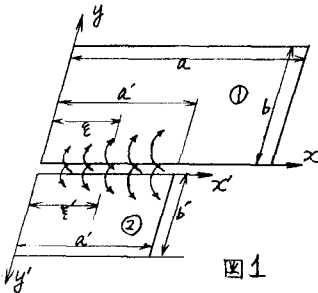


図1

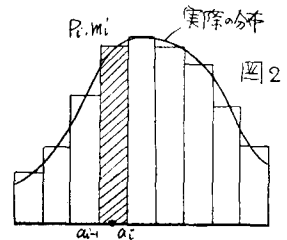
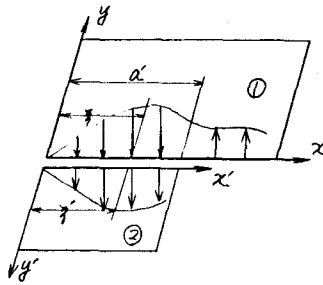


図2

この基本要素に於て、板1の自由边上 $0 \leq x \leq a'$ 区間に不静定モーメント、及び不静定反力を作用させ、 $a' < x \leq a$ 区間には不静定反力を作用させる。又板2の自由边上には、板1の $0 \leq x \leq a'$ 区間に作用する不静定モーメント、不静定反力と等大、逆向きの不静定力を作用させる(図1参)。これら不静定力は、一般に連続して分布するものであるが、^{今回}図2に示すように、近似的に階段状に変化して分布しているものと仮定してやるとこれら不静定力による板1、板2のたわみ W_1, W_2 は、各々次の様に表わすことが出来る。

$$W_1 = \sum_{i=1}^s P_i \int_{a_{i-1}}^{a_i} \bar{W}_p d\xi - \sum_{j=1}^s P_j \int_{a_{j-1}}^{a_j} \bar{W}_p d\xi + \sum_{i=1}^s M_i \int_{a_{i-1}}^{a_i} \bar{W}_m d\xi$$

$$W_2 = - \sum_{i=1}^s P_i \int_{a_{i-1}}^{a_i} \bar{W}_p' d\xi' + \sum_{i=1}^s M_i \int_{a_{i-1}}^{a_i} \bar{W}_m' d\xi'$$

ここで、 s は不静定力の作用区間における矩形分布力への分割数を表わし $(a_i, a_{i-1}), (a_j, a_{j-1})$ は各作用区間の番目、 i 番目分割区間の足の x 座標を示しており、 P_i, P_j, M_i は添字区間の分布不静定力の強度である。又 \bar{W}_p, \bar{W}_m は各々 $x=\xi$ 地裏に作用する単位の反力、モーメントによる板1のたわみ、 \bar{W}_p', \bar{W}_m' は $x=\xi'$ 地裏に同じものが作用する場合の板2のたわみを表わす。これらを式表示すれば次のようになる。

$$\bar{w}_p = \frac{2a^2}{(1-\nu)\pi^2 D} \sum_{i,2,3} \frac{\sinh m_i \pi \lambda}{m_i^3 \gamma_m} \left[(\gamma_m - \frac{1+\nu}{2}) \left\{ \frac{\sinh m_i \pi \eta}{\sinh m_i \pi \lambda} - \frac{\eta}{\lambda} \coth m_i \pi (\lambda - \eta) \right\} - \left\{ \frac{\cosh m_i \pi \eta}{\cosh m_i \pi \lambda} - \frac{\eta}{\lambda} \coth m_i \pi (\lambda - \eta) \right\} \right] \sin m_i \eta \sin m_i \lambda$$

$$\bar{w}_m = \frac{2a}{(1-\nu)\pi^2 D} \sum_{i,2,3} \frac{\cosh m_i \pi \lambda}{m_i^2 \gamma_m} \left[\frac{1+\nu}{2} \left\{ \frac{\sinh m_i \pi \eta}{\sinh m_i \pi \lambda} - \frac{\eta}{\lambda} \coth m_i \pi (\lambda - \eta) \right\} - (\gamma_m - 1) \left\{ \frac{\cosh m_i \pi \eta}{\cosh m_i \pi \lambda} - \frac{\eta}{\lambda} \coth m_i \pi (\lambda - \eta) \right\} \right] \sin m_i \eta \sin m_i \lambda$$

$\lambda = b/a, \eta = y/a, dm = m\pi/a, \gamma_m = (3+\nu)/2 + (1-\nu)m\pi\lambda \operatorname{cosech} 2m\pi\lambda, D: \text{板の曲げ剛度}, \nu: \text{ポアソン比}$
 又、 \bar{w}_p, \bar{w}_m は上式で、 $a, b, y, x, \eta, \lambda$ を $a', b', y', x', \eta', \lambda'$ で置きかえたものであることは自明である。
 さて板1, 板2 のたわみはこの地盤に上載荷重によるものを付加してやらねばならない。これを w_1, w_2 とすれば実際なたわみは次の様に得られる。

板1; $W_1 = w_1 + w_1'$ 板2; $W_2 = w_2 + w_2'$

$$w_1 = \sum_m \sum_n A_{mn} \left[\sin p_n y + \Lambda_{mn} \left\{ (\gamma_m - \frac{3+\nu}{2}) \left[\frac{\eta}{\lambda} \coth m_i \pi (\lambda - \eta) - \frac{\sinh m_i \pi \eta}{\sinh m_i \pi \lambda} \right] + \left[\frac{\cosh m_i \pi \eta}{\cosh m_i \pi \lambda} - \frac{\sinh m_i \pi \eta}{\sinh m_i \pi \lambda} \right] \right\} \right] \sin m_i x$$

$$p_n = n\pi/b, \Lambda_{mn} = \left\{ (\beta_n/d_m)^2 + (2-\nu) \beta_n/d_m \right\} \sinh m_i \pi \lambda / (1-\nu) \gamma_m, \text{等分布荷重 } q \text{ の場合 } A_{mn} = 16q / \{ D \pi^2 (\lambda^2 + \beta_n^2) m n \}$$

w_1' は $\bar{w}_p \rightarrow \bar{w}_p'$ と同じ変換操作を行ったもの。これが目的のL形板としての条件を具えるには、接合辺 ($y=y'=0$) の $0 \leq x \leq a' (0 \leq x \leq a')$ 区間で板1, 板2 のたわみ, slope が等しく、 $a' \leq x \leq a$ にて板1 のたわみが零とならねばならない。この条件に各不静定力への分割区間の中央で満足させる選定法を用いる。各条件式は次のように書かれる。

$$\textcircled{1} [W_1]_{x=x_i} = [W_2]_{x=x_i} \quad \textcircled{2} \left[\frac{\partial W_1}{\partial y} \right]_{y=0}^{x=x_i} = - \left[\frac{\partial W_2}{\partial y} \right]_{y=0}^{x=x_i} \quad \textcircled{3} [W_1]_{x=x_j} = 0 \quad (i=1, 2, 3, \dots, S; j=1, 2, 3, \dots, T)$$

従ってこの $(2S+T)$ 元連立方程式を解くことにより各分布不静定力 P_i, P_j, M_i が求まり、それらを用いてL形板のたわみ, 断面力が算出される。

b) 解法2

基本 field に四辺単純支持矩形板を用いて、いわゆる Integral Method³⁾ による解法を試みる。図3を参照すれば、作り出すL形板の未定境界はFである。Fより幾分か離れた地盤に補助境界Γを設定し、Γ上に補正力として線荷重、線モーメントを作用させるが、補正力の分布型を前例で用いた矩形分布と仮定する。前例の手法に従ってこれら補正力によるたわみ式は次の様に表わされる。

Γ₁上の補正力項

線荷重によるもの $W_{p1} = \sum_{i=1}^S P_{i1} \int_{a_{i-1}}^{a_i} \bar{w}_p d\eta$

線モーメントによるもの $W_{m1} = \sum_{i=1}^S M_{i1} \int_{a_{i-1}}^{a_i} \left(\frac{\partial \bar{w}_p}{\partial \eta} \right) d\eta$

Γ₂上の補正力項

線荷重によるもの $W_{p2} = \sum_{j=1}^T P_{2j} \int_{b_{j-1}}^{b_j} \bar{w}_p d\eta$

線モーメントによるもの $W_{m2} = \sum_{j=1}^T M_{2j} \int_{b_{j-1}}^{b_j} \left(\frac{\partial \bar{w}_p}{\partial \eta} \right) d\eta$

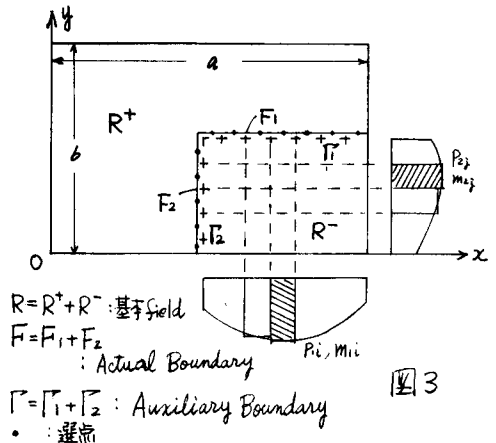


図3

ニニで \bar{w}_p は基本 field R の一葉 (ξ, η) に unit load を受ける場合の R のためである。

$$\bar{w}_p = \frac{4}{abD} \sum_{m=1,3,5} \sum_{n=1,3,5} \frac{\sin \alpha_m \xi \sin \beta_n \eta}{(d_m^2 + \beta_n^2)^2} \sin \alpha_m x \sin \beta_n y, \quad D: \text{板の曲げ剛度}$$

$d_m = m\pi/a, \beta_n = n\pi/b$

さてニから補正カハ地に、L形板 (R^+) の実際の上載荷重を想定し、 R 上に全面等分布荷重が満載した力学系を考えれば、結局 R における全たわみ W は次式となる。

$$W = \bar{w}_{p1} + \bar{w}_{m1} + \bar{w}_{p2} + \bar{w}_{m2} + \bar{w}_2$$

ニニに \bar{w}_2 は R の等分布載荷によるたわみである；

$$\bar{w}_2 = \frac{16\bar{w}}{\pi^2 D} \sum_{m=1,3,5} \sum_{n=1,3,5} \frac{\sin \alpha_m x \sin \beta_n y}{mn (d_m^2 + \beta_n^2)^2}$$

従ってニこれらの力学系が実際のL形板となるには、未定境界 $F (= F_1 + F_2)$ にて単純支持の条件が満たされねばよいことになる。この境界での条件を F 上の選点で満たす (図3参)。即ち

$$(W)_{\substack{x=x_i \\ y=y_i}} = 0, \quad \left(\frac{\partial^2 W}{\partial y^2} + \nu \frac{\partial^2 W}{\partial x^2} \right)_{\substack{x=x_i \\ y=y_i}} = 0 \quad ; \quad (i=1, 2, \dots, S)$$

$$(W)_{\substack{x=a_i \\ y=y_j}} = 0, \quad \left(\frac{\partial^2 W}{\partial x^2} + \nu \frac{\partial^2 W}{\partial y^2} \right)_{\substack{x=a_i \\ y=y_j}} = 0 \quad ; \quad (j=1, 2, \dots, t) \\ \nu: \text{ポアソン比}$$

この連立方程式を解くニにより、不静定量 $P_{ii}, M_{ii}, P_{ij}, M_{ij} \{ i=1, \dots, s, j=1, \dots, t \}$ が決定されるニになるが、真の境界 F と補正境界 F' との距離、あるいは矩形分布への分割数等諸量を漸次決定してゆく収束計算となる。この様にして得られた解は当然連続解である。

C). 解法3

基本 field を3辺単純支持、一辺自由な板②③、及び2隣辺単純支持、2隣辺自由で自由辺の交差が桌支持されている板①に採る。

この場合は接合面 A, B にて連続条件： $\{$ たわみ, slope, モメント, 撓算せし断力が各板間で等しい $\}$ を合せるニになるが、パネル①の A 面, B 面に前出のように不静定力を加わせるニが困難であるから単純に考えて各パネルのたわみを Levy 型の級数型で与えておき、内在する積分定数を未知量とし接合面 A, B における各パネル間の連続条件、各パネルの境界条件より得られる関係式にて表現することにする。それでこの例では、連続条件、もしくは境界条件は前2例とは違って厳密に辺長にわたる級数展開で満たされるニになる。

たわみの板定実数は例えばパネル①では

$$W_1 = \sum_m \sum_n F_{mn1} \sin \alpha_m x \sin \beta_n y + \sum_m Y_{m1} \sin \alpha_m x + \sum_n X_{n1} \sin \beta_n y$$

$$\text{ニニに } Y_{m1} = A_{m1} \cosh \alpha_m y + B_{m1} \alpha_m y \sinh \alpha_m y + C_{m1} \sinh \alpha_m y + D_{m1} \alpha_m y \cosh \alpha_m y$$

$$X_{n1} = A'_{n1} \cosh \beta_n x + B'_{n1} \beta_n x \sinh \beta_n x + C'_{n1} \sinh \beta_n x + D'_{n1} \beta_n x \cosh \beta_n x$$

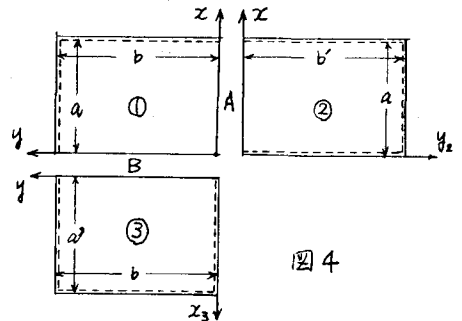


図4

$A_{m1}, B_{m1}, \dots, C_{n1}, D_{n1}$ は積分定数, $\alpha_m = m\pi/a, \beta_n = n\pi/b, F_{mn1} = 16g / \{D\pi^2(\alpha_m^2 + \beta_n^2)^3 mn\}$.

パネル②は上式で $\sum X$ 型を省いたもの, パネル③は $\sum Y$ 型を省いたものであり, a, b 等諸量は各パネルに準じたものを使用する。この様にして仮定したたわみ関数内の積分定数は, 上述の境界条件(全て単独支持), 境界条件より最終的に17次の4種の連立方程式群として関連づけられる。

$$\begin{aligned}
 & G(\delta_{m1}, \delta_{m2}) A_{m1} + [G(\delta_{m1}, \delta_{m2}) + H(\delta_{m1}, \delta_{m2})] B_{m1} + \frac{2}{a} \sum_n \frac{\beta_n}{\alpha_m^2 + \beta_n^2} A_{n1}' - \frac{4}{a} \sum_m \frac{\beta_n^3}{(\alpha_m^2 + \beta_n^2)^2} B_{n1}' = \sum_n \left(\frac{\beta_n}{\alpha_m} F_{mn1} + \frac{\beta_n'}{\alpha_m} F_{mn2} \right) \quad (1) \\
 (1-V) & G(\delta_{m1}, \delta_{m2}) A_{m1} - [(1+V)G(\delta_{m1}, \delta_{m2}) - (1-V)H(\delta_{m1}, \delta_{m2})] B_{m1} + (1-V) \frac{2}{a} \sum_n \frac{\beta_n^3}{\alpha_m^2 (\alpha_m^2 + \beta_n^2)} A_{n1}' \\
 & + \frac{4}{a} \sum_n \frac{\beta_n^3}{\alpha_m^2 (\alpha_m^2 + \beta_n^2)} \left\{ (2-V) - (1-V) \frac{\beta_n^2}{\alpha_m^2} \right\} B_{n1}' = \sum_n \left[\frac{\beta_n}{\alpha_m} \left\{ (2-V) + \frac{\beta_n^2}{\alpha_m^2} \right\} F_{mn1} + \frac{\beta_n'}{\alpha_m} \left\{ (2-V) + \frac{\beta_n^2}{\alpha_m^2} \right\} F_{mn2} \right] \quad (2) \\
 -\frac{2}{b} \sum_m \frac{\alpha_m}{\alpha_m^2 + \beta_n^2} A_{m1} + \frac{4}{b} \sum_m \frac{\alpha_m^3}{(\alpha_m^2 + \beta_n^2)^2} B_{m1} + G(\delta_{n1}, \delta_{n3}) A_{n1}' + [G(\delta_{n1}, \delta_{n3}) + H(\delta_{n1}, \delta_{n3})] B_{n1}' & = \sum_m \left(\frac{\alpha_m}{\beta_n} F_{mn1} + \frac{\alpha_m'}{\beta_n} F_{mn3} \right) \quad (3) \\
 (1-V) \frac{2}{b} \sum_m \frac{\alpha_m^3}{\beta_n^2 (\alpha_m^2 + \beta_n^2)} A_{m1} + \frac{4}{b} \sum_m \frac{\alpha_m^3}{\beta_n^2 (\alpha_m^2 + \beta_n^2)} \left\{ (2-V) - (1-V) \frac{\alpha_m^2}{\beta_n^2} \right\} B_{m1} \\
 + (1-V) & G(\delta_{n1}, \delta_{n3}) A_{n1}' - [(1+V)G(\delta_{n1}, \delta_{n3}) - (1-V)H(\delta_{n1}, \delta_{n3})] B_{n1}' = \sum_m \left[\frac{\alpha_m}{\beta_n} \left\{ (2-V) + \frac{\alpha_m^2}{\beta_n^2} \right\} F_{mn1} + \frac{\alpha_m'}{\beta_n} \left\{ (2-V) + \frac{\alpha_m^2}{\beta_n^2} \right\} F_{mn3} \right] \quad (4)
 \end{aligned}$$

== \therefore $\delta_{m1} = \alpha_m b, \delta_{m2} = \alpha_m b', \delta_{n1} = \beta_n a, \delta_{n3} = \beta_n a', \alpha_m' = m\pi/a', \beta_n' = n\pi/b', G, H$ 記号は別記す
 $G(\delta_{m1}, \delta_{m2}) = \coth \delta_{m1} + \coth \delta_{m2}, H(\delta_{m1}, \delta_{m2}) = \delta_{m1}(1 - \coth^2 \delta_{m1}) + \delta_{m2}(1 - \coth^2 \delta_{m2})$ a 等と表わす可きのである。
 $F_{mn2} = 16g / \{D\pi^2(\alpha_m^2 + \beta_n^2)^3 mn\}, F_{mn3} = 16g / \{D\pi^2(\alpha_m^2 + \beta_n^2)^3 mn\}$

3. 数値計算例

紙面の都合上 解法3の結果のみ記すことにし他の解法の結果, 三法の比較等は当日発表の予定である。右図のよう寸法をとり, 等分布荷重が作用するとき, $A_m = A_{m1}, B_m = B_{m1}$ なる対称曲げとなり連立方程式群は①②の2種となる。

(i) 接合面Aの中央裏のたわみの収束性

$m=n$	20	40	60	80	90	100	
W	0.613	0.583	0.568	0.559	0.556	0.553	$\times 10^{-3} \frac{qa^4}{D}$
%	10.8	5.4	2.7	1.1	0.5		

(ii) たわみの最大値の収束性

$m=n$	20	40	60	80	90	100	
W	0.695	0.661	0.645	0.636	0.632	0.629	$\times 10^{-3} \frac{qa^4}{D}$
%	10.5	5.1	2.5	1.1	0.5		

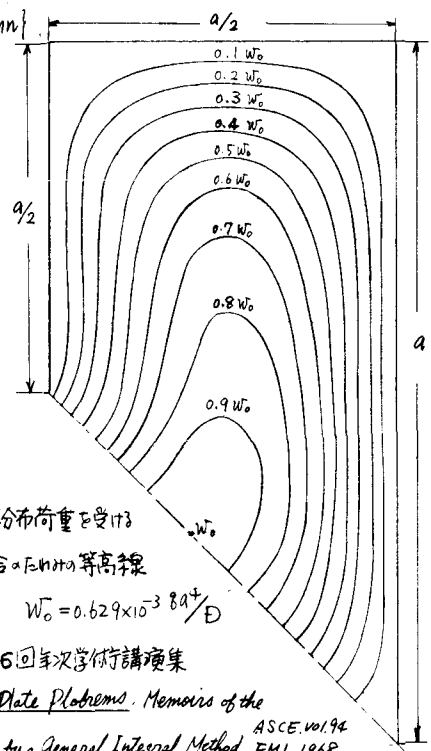


図5.

等分布荷重を受ける場合のたわみの等高線
 $W_0 = 0.629 \times 10^{-3} \frac{qa^4}{D}$

4. 参考文献 ① 倉田, 他 部分支持板の曲げについて, 土木学会第26回年次学術講演集 1971. I-154 ② KURATA, & OKAMURA, A Method of Approximation on the Plate Problems. Memoirs of the Faculty of Engineering OSAKA city Univ. Vol.3. 1961 ③ Oliverio, plane Stress Analysis by a General Integral Method. EMI, 1968 ASCE, Vol. 94